

# Vpliv reaktivnosti $Fe_2O_3$ na diskontinuirno rast zrn v MnZn feritih

## Influence of Iron Oxide Reactivity on Discontinuous Grain Growth in MnZn Ferrites

Urek S<sup>1</sup>, TF Maribor

Miha Drofenik, Inštitut Jožef Stefan, Ljubljana

*V delu smo preučevali vpliv in reaktivnost  $Fe_2O_3$  na razvoj mikrostrukture MnZn feritov. Rezultati so pokazali, da  $Fe_2O_3$ , ki je kemijsko reaktivni pri nižjih temperaturah, uspešno zavre razvoj intragranularne poroznosti in pretirane rasti zrn.*

*Ključne besede: nizkotemperaturno reaktivni  $Fe_2O_3$ , odpornost proti diskontinuirni rasti zrn, feriti MnZn*

*Discontinuous grain growth during sintering of MnZn ferrites can be effectively suppressed when "low temperature reactivity" iron oxide, which exhibits "selfsintering", is used for the ferrite synthesis. The selfsintering of iron oxide during the sintering of MnZn ferrite compacts prepared from prereacted mixtures shifts the chemical reaction of MnZn ferrite formation to higher temperatures where the final microstructure is developed.*

*Key words: low temperature reactivity  $Fe_2O_3$ , suppressed discontinuous grain growth, MnZn ferrite*

### 1. Uvod

Najpomembnejša stopnja priprave MnZn feritov je proces sintranja, med katerim se razvije mikrostruktura keramike, ki v veliki meri določa končne magnetne lastnosti feritov MnZn. Pogost in neželen proces, ki spreminja razvoj mikrostrukture, je pretirana rast zrn. Velika zrna z intragranularno poroznostjo, ki nastanejo med tem procesom, poslabšajo magnetne lastnosti keramike.

Razvoj mikrostrukture feritov MnZn je odvisen od več parametrov, med katerimi sta reaktivnost oksidov in morfologija feritnih prahov zelo pomembna<sup>1,2</sup>.

Po klasičnem postopku priprave feritov MnZn se zmes oksidov kalcinira pri temperaturi okrog 900°C. Pri tej temperaturi ostane del  $Fe_2O_3$  nezreagiran, odvisno od atmosfere in reaktivnosti oksidov. Prisotnost  $Fe_2O_3$  in drugih reakcijskih produktov zavira rast zrn ferita MnZn med sintranjem ter s tem nastanek pretirano velikih zrn z intragranularno poroznostjo.

Feritni prah, ki je pred sintranjem kalciniran pri nižji temperaturi, vsebuje več  $Fe_2O_3$  in je manj izpostavljen pretirani rasti zrn kot feritni prah, kalcini-

ran pri višji temperaturi<sup>1,3</sup>. Posebno pri sintranih vzorcih, ki so bili pripravljeni iz nekalciniranih prahov, pretirane rasti zrn ne opazimo.

Če uporabimo  $Fe_2O_3$ , ki je reaktivni že pri sorazmerno nizkih temperaturah in je nagnjen k avtosintraju, se nastanek ferita premakne proti višjim temperaturam<sup>4</sup>. Specifična površina  $Fe_2O_3$  v začetni mešanici se pri temperaturi < 800°C močno zmanjša, kar pri višjih temperaturi > 800°C ovira kemijsko reakcijo v trdnem stanju med izhodnimi oksidi. Tako pripravljen feritni prah je odporen proti diskontinuirni rasti zrn, četudi je bil predhodno kalciniran pri relativno visoki temperaturi. Poleg tega so prahovi stisljivi, kar zagotavlja izdelavo homogenega in gostega feritnega stisnjanca.

### 2. Eksperimentalno delo

Ferit s sestavo  $Mn_{0.4}Zn_{0.6}Fe_2O_4$  je bil pripravljen po keramičnem postopku iz  $Mn_3O_4$ ,  $ZnO$  in  $Fe_2O_3$ . Železov oksid, ki smo ga uporabili pri delu je proizvajalec pripravil z razkrojem železovega oksida pri temperaturi 500°C (Iron-NKK Co., Ltd. Fukuyama Works). Splošno je znano, da je maksimalna reaktivnost oksidov odvisna od temperature razkroja matične soli.

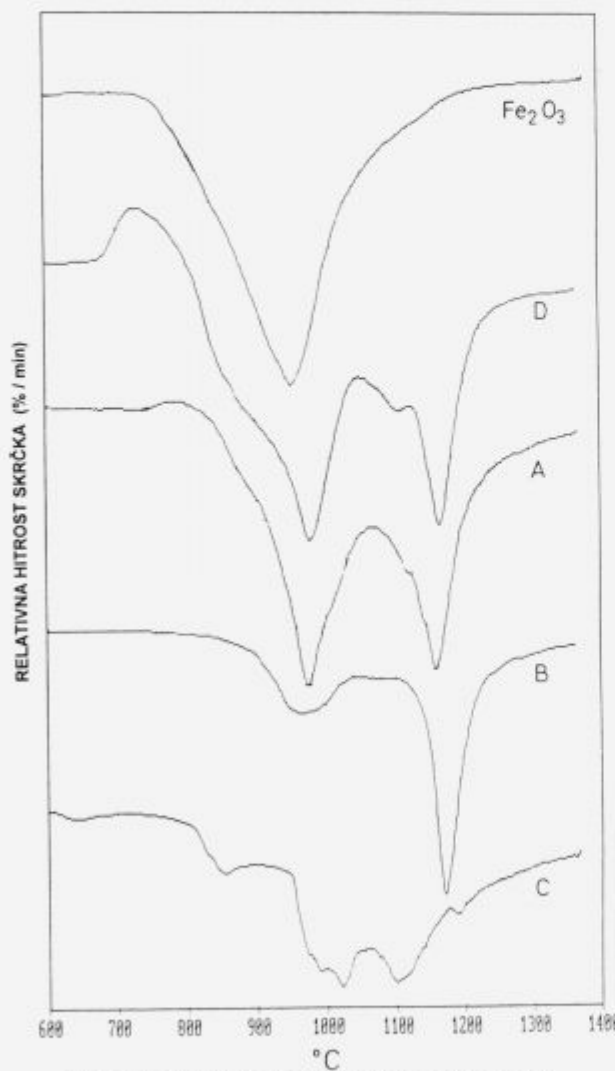
Prahove smo kalcinirali pri 600°C (A), 900°C (B), 1200°C (C), vzorec D ni bil kalciniran. Zmlete pra-

<sup>1</sup> Sandra UREK, dipl. inž., Tehnična fakulteta Maribor, Šmetanova 17

hove smo analizirali z rentgensko difrakcijo ter naredili dilatometrično analizo. Iz prahov smo stisnili vzorce z gostoto  $\rho=3,00 \text{ g/cm}^3$  ter jih sintrali pri  $1250^\circ\text{C}$  in  $1400^\circ\text{C}$  pod ravnotežnimi pogoji. Sintranim vzorcem smo pregledali mikrostrukturo ter določili povprečno zrnjavost.

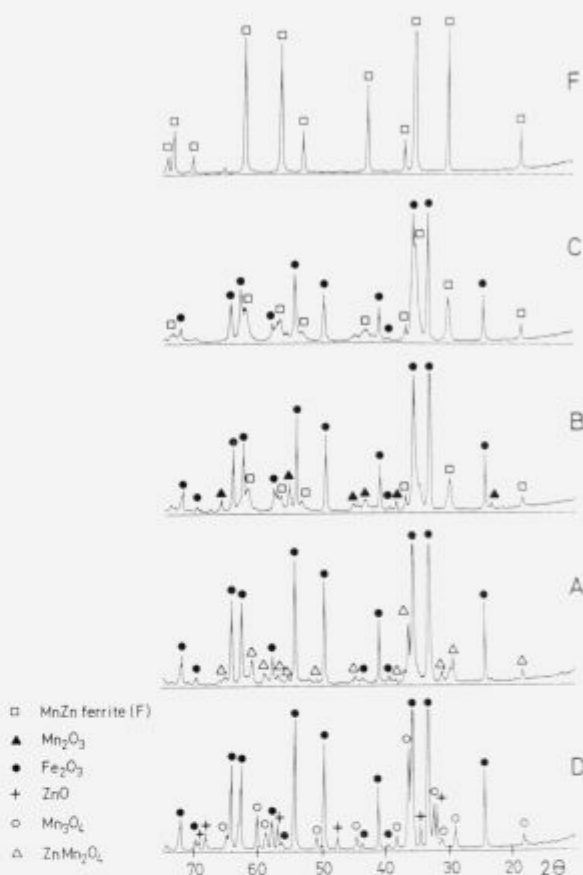
### 3. Rezultati in diskusija

**Slika 1** prikazuje relativno hitrost skrčkov vzorcev A, B, C in D ter  $\text{Fe}_2\text{O}_3$ . Železov oksid in nekalciniran prah D kaže intenzivno krčenje že pri temperaturi  $950^\circ\text{C}$ . Temperatura prvega maksimuma pri vzorcu D na **sliki 1** sovпадa z maksimumom  $\text{Fe}_2\text{O}_3$ . Ta maksimum smo pripisali samo sintraju  $\text{Fe}_2\text{O}_3$  v kalciniranih vzorcih. Podoben maksimum, vendar manj izrazit je opazen tudi pri vzorcih A in B, kar nam dokazuje, da avtosintranje  $\text{Fe}_2\text{O}_3$  ni končano



**Slika 1:** Relativna hitrost skrčka čistega  $\text{Fe}_2\text{O}_3$ , nekalciniranega prahu (D) in prahov kalciniranih pri  $600^\circ\text{C}$  (A),  $900^\circ\text{C}$  (B) ter  $1200^\circ\text{C}$  (C)

**Figure 1:** The relative shrinkage rate of pure  $\text{Fe}_2\text{O}_3$ , green powder D and powders calcined at  $600^\circ\text{C}$  (A),  $900^\circ\text{C}$  (B) and  $1200^\circ\text{C}$  (C)



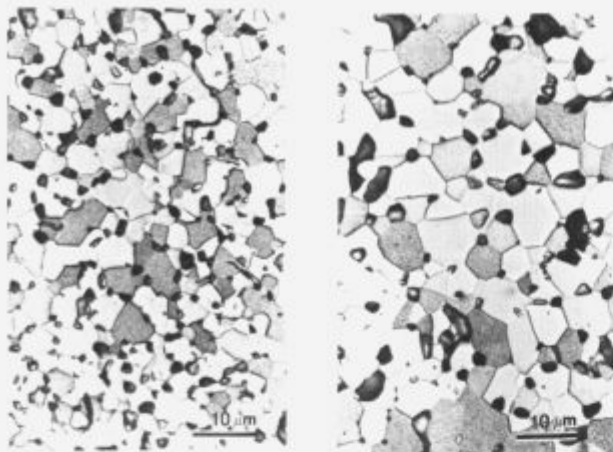
**Slika 2:** Praškovna difrakcija XRD nekalciniranega prahu (D) in kalciniranih prahov pri  $600^\circ\text{C}$  (A),  $900^\circ\text{C}$  (B),  $1200^\circ\text{C}$  (C) ter prahu sintranega MnZn ferita (F)

**Figure 2:** The X-ray powder diffraction pattern of "green" powder (D) and powders calcined at  $600^\circ\text{C}$  (A),  $900^\circ\text{C}$  (B) and  $1200^\circ\text{C}$  (C). The diffraction pattern of sintered MnZn ferrite (F) is also shown

pri temperaturah kalcinacije  $600^\circ\text{C}$  in  $900^\circ\text{C}$  ter se tako nadaljuje med dilatometrično analizo. Pri vzorcih D, A in B je opazen drugi maksimum, ki predstavlja nastanek ferita pri temperaturi  $1150^\circ\text{C}$  in sovпадa s sintranjem ferita MnZn. V primeru prahu C, kalciniranem pri temperaturi  $1200^\circ\text{C}$ , opazimo en sam maksimum, ki predstavlja zgoščevanje ferita MnZn med sintranjem.

**Slika 2** prikazuje rentgensko difrakcijo vzorcev A, B, C, D in F (F je difraktogram čistega ferita). Rentgenska difrakcija kaže relativno majhno vsebnost MnZn ferita. Posebno zanimiva je ugotovitev, da je produkt kalcinacije pri  $600^\circ\text{C}$   $\text{ZnMn}_2\text{O}_4$  in da  $\text{Fe}_2\text{O}_3$  ne sodeluje v kemijski reakciji pri tako nizki temperaturi.

Avtosintranje  $\text{Fe}_2\text{O}_3$  močno ovira tvorbo ferita MnZn pri navadnih temperaturah  $< 1000^\circ\text{C}$  in povzroči, da poteka kemijska reakcija v istem temperaturnem območju kot sintranje in formiranje končne mikrostrukture pri temperaturi  $> 1000^\circ\text{C}$ . Pri tem se reakcijski produkti akumulirajo na mejah med zrni in zavirajo pretirano rast zrn. Reakcijsko



Sliki 3a, b: Mikrostruktura ferita MnZn pripravljenega iz prahu kalciniranega pri  $900^{\circ}\text{C}$  (B) in sintranega pri  $1250^{\circ}\text{C}$  (a) in  $1400^{\circ}\text{C}$  (b)

**Figure 3a, b:** Microstructure of MnZn ferrite prepared from powder (B) sintered at  $1250^{\circ}\text{C}$  (a) and  $1400^{\circ}\text{C}$  (b)

sintranje spremišča tudi nastanek dodatne poroznosti. Pri vzorcih B in C, kalciniranih pri višjih temperaturah ( $900^{\circ}\text{C}$  in  $1200^{\circ}\text{C}$ ), kjer se sposobnost avtosintranja  $\text{Fe}_2\text{O}_3$  zmanjša, zrna rastejo hitreje in opazna je večja povprečna velikost zrn v primerjavi z vzorci D in A. Mikrostrukture sintranih vzorcev in tem ustreznih mikrostrukturnih parametrov so prikazani na slikah 3a in 3b in v tabeli 1.

**Tabela 1:** Lastnosti feritnih prahov in sintranih vzorcev; specifična površina  $A_s$ , srednja velikost zrn d, sintrana gostota  $\rho_s$ , relativna gostota T.D. in povprečna velikost zrn D, vzorcev sintranih pri  $1250^{\circ}\text{C}$  in  $1400^{\circ}\text{C}$

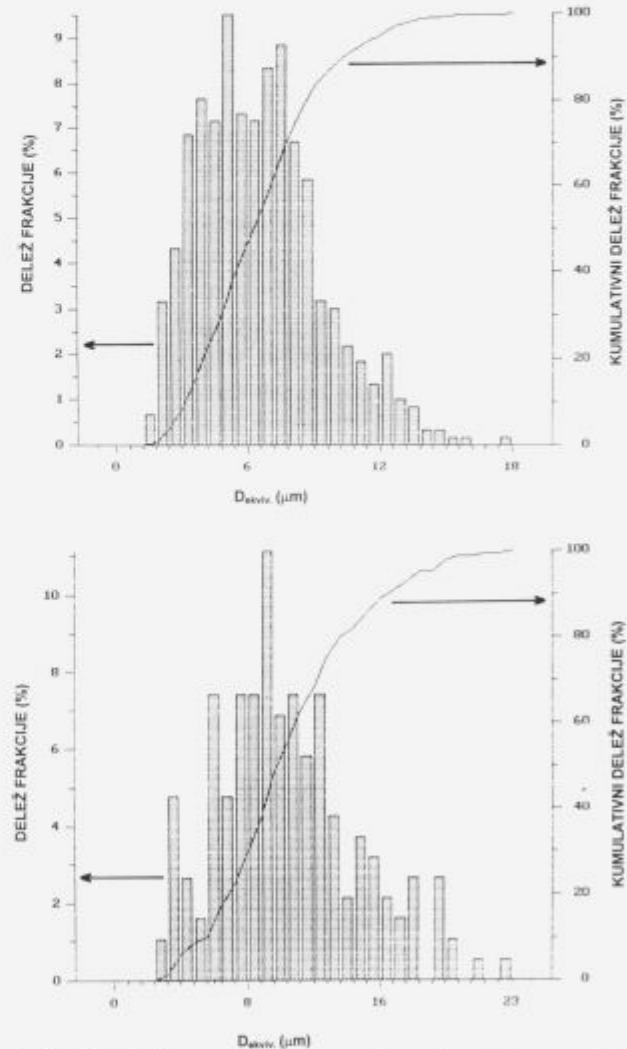
vzorec	$1250^{\circ}\text{C}$				$1400^{\circ}\text{C}$			
	$A_s$ m <sup>2</sup> /g	d µm	$\rho_s$ g/m <sup>3</sup>	T.D. %	D µm	$\rho_s$ g/m <sup>3</sup>	T.D. %	D µm
D	6.7	0.70	4.70	92	5.60	4.85	95	8.50
A	4.1	0.80	4.84	95	5.78	4.89	96	8.80
B	2.3	1.56	4.80	94	6.61	4.85	95	10.10
C	2.6	1.99	4.75	93	6.25	4.88	96	11.00
povprečne vrednosti	4.77	93.5	6.06		4.87	95.5		9.60

Vzorci, sintrani pri  $1250^{\circ}\text{C}$ , izkazujejo homogeno mikrostrukturo s povprečno velikostjo zrn  $6 \mu\text{m}$ . Vzorci, sintrani pri  $1400^{\circ}\text{C}$  s povprečno velikostjo zrn  $10 \mu\text{m}$ , kažejo relativno visoko intergranularno poroznost. Povprečna velikost zrn vzorcev, sintranih pri  $1400^{\circ}\text{C}$ , naraste za približno 60% v primerjavi s povprečno velikostjo zrn vzorcev, sintranih pri  $1250^{\circ}\text{C}$ . Povprečna gostota se poveča za približno 2%, kar kaže, da povprečna velikost por narašča vzporedno z rastjo zrn.

Porazdelitev velikosti zrn na slikah 4a in 4b kaže, da v vzorcih ni zaslediti pretirano velikih zrn kljub relativno visoki temperaturi sintranja  $1400^{\circ}\text{C}$ . Ob uporabi komercialnih železovih oksidov se pri tej temperaturi navadno pojavi pretirana rast zrn.

Odpornost proti diskontinuirni rasti zrn je opazna tako pri prahovih, kalciniranih pri visoki temperaturi (C) in pri nekalciniranem prahu (D), kot pri prahovih, ki so kalcinirani pri nizkih temperaturah (A, B). Po drugi strani pa mikrostruktura kaže pretirano rast por. Pretirana rast por v začetni fazi sintranja nastaja s površinsko difuzijo, z efektom porazdelitve delcev in njihovim zlitjem<sup>5</sup>. Med sintranjem v atmosferi kisika, je mobilnost por velika<sup>6</sup> in se le-te premikajo vzdolž mej med zrnji. S tem se poveča verjetnost pretiranega večanja por. Poroznost se lahko formira med neenako vzajemno difuzijo reaktantov, zlasti med kemijsko reakcijo precipitacije reakcijskih produktov, ki spremiščajo rast zrn med procesom reakcijskega sintranja.

Raziskave so pokazale, da uporaba železovega oksida, ki je reaktivni pri nizkih temperaturah, izboljša upornost feritnega prahu MnZn proti pretirani rasti zrn, četudi so vzorci kalcinirani pri visoki temperaturi in intenzivno zmleti.



Sliki 4a, b: Porazdelitev povprečne velikosti zrnnavosti vzorcev, sintranih pri a)  $1250^{\circ}\text{C}$  in b)  $1400^{\circ}\text{C}$

**Figure 4a, b:** The grain size distribution of sample (B) sintered at  $1250^{\circ}\text{C}$  (a) and  $1400^{\circ}\text{C}$  (b), respectively

#### 4. Sklepi

Rezultati predstavljenega dela kažejo, da je za izdelavo feritnih jeder, kjer je pomembna mikrostruktura z relativno majhno zrnavostjo, primerna uporaba  $\text{Fe}_2\text{O}_3$ , ki je aktivен že pri relativno nizkih temperaturah.

#### 5. Reference

- <sup>1</sup>F. J. C. M. Toolenaar, M. T. J. Van Lierop-Verhees, Reactive Sintering of Manganese Ferrite, *J. Mat. Sci.*, 24, 1989, 492-408
- <sup>2</sup>M. N. Rahaman and L. C. De Jonghe, Reactive Sintering of Zinc Ferrite During Constant Rates of Heating, *J. Am. Cer. Soc.*, 76, 1993, 7, 1739-44
- <sup>3</sup>F. J. C. M. Toolenaar, Effects of Presintering on Densification Phenomena of Ferrites, *Sol. State Ionics*, 16, 1985, 267-74
- <sup>4</sup>U. Wagner, Aspects of Correlation Between Raw Material and Ferrite Properties, *J. Mag. Mag. Mat.*, 23, 1981, 73-78
- <sup>5</sup>O. J. Whittemore and J. J. Sipe, Pore Growth During the Initial Stages of Sintering Ceramics, *Powder Technology*, 9, 1974, 159-164
- <sup>6</sup>P. J. L. Reijnen, Sintering Behaviour and Microstructures of Aluminates and Ferrites with Spinel Structure with Regard to Deviation from Stoichiometry, *Sci. Ceram.*, 4, 1968, 169-88